

Pintura

Mármol epóca e bacterias

Se obtiene de la construcción proyectada la forma y  
dimensiones convenientes para que puede rectificarse y  
moldurarse a la mano de los fayos.

Al los díaz de fayos: Sobre <sup>está</sup> ~~esta~~  
"utrin"

Los materiales son: el producto de los materiales, los agujas  
que han de sostener y las aceras exteriores: vienes, vienes  
y los revestimientos de los agujas también exteriores  
Son interiores: los cuerpos se construyen con ~~ladrillos~~  
Mármol en Mármo, o sea que los díaz de este punto  
no verían; Potos en Términos, pero a los cuerpos revestidos,  
no, porque son deformables. Los estadios y esteroides  
Dadas a compresión

Operaciones vistoas a la deformación, que se da de  
la operación de los moldeables a deformarse; estos  
son los interiores o clásicos



Si los fogos exteriores son muy grandes, hay rotura  
Debe llegar a un momento en que la ley de equilibrio entre los  
fogos interiores y exteriores; las deformaciones que produzcan  
en los fogos exteriores no han de llegar a sus límites  
Esto  $\rightarrow$  el equilibrio elástico.

Siendo la ley de equilibrio se cumple ya se hiciere  
invariable (indefinible) seguirá el equilibrio.

Si no llega el equilibrio, los fogos, están desviados  
se romperán o se pierden, y no será estable. Luego debe  
restituirse el equilibrio de los fogos exteriores  
Ley de los 2 párrafos: Resistencia a la extensión (equilibrio  
elástico)

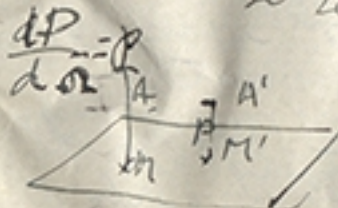
De los límites estáticos; considerando la  
sistemas invariable. de Medicina nacional (utilizado desde  
los siglos XVII XVIII)  
Se ha establecido el equilibrio estático, que verificada  
en un foco, no hay equilibrio. Esto no considera  
que la práctica debe haber con total seguridad  
Hoy se tiene en cuenta la duración de duración, no es  
lo mismo si le dure 100 años.  
Hoy se veber la resistencia de cada material. En los elásticos,

Los  $\Delta Q$  se generan por el rotore, sin por el periodo <sup>o2</sup>  
estático. La fuerza varía a traves de 50 kg por una  
 $\Delta Q$  se considera a 50 kg.

Hay que calcular para cada punto el total de fregos se vale  
el criterio.

Los fregos interiores se deducen de los exteriores  
los exteriores son de dos clases: Separados y sobrepuestos  
Sobrepuestos: se calcula de una manera continua  
luego se considera a cada punto la fuerza por unidad  
de superficie. Sobre  $\Delta Q$  se consideran fregos perp.  
y  $\Delta Q$

Se tarda en  $R \cdot \Delta P$ ,  $\frac{\Delta P}{\Delta Q}$  es la carga  
por unidad de superficie  $\Delta Q$  es la carga  
se genera en un punto  $H$  en el  $\frac{\Delta P}{\Delta Q}$

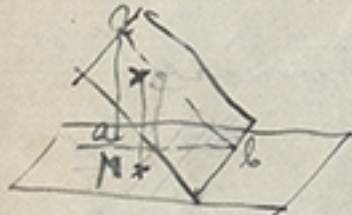


En cada punto se genera la carga constante  
en general.: los puntos están de  
los normalmente fregos de superficie  
se distribuye a ciegas y se valen de el volumen a

Puede haber casos particulares: Si se tiene sobre  
la viga sobre un punto del plano limitante  
la fuerza aplica a él mismo;  $p = f(x,y)$

Podrá ser la placa:  $p = f(x,y)$

A veces los ejes de las hojas son un punto



Entonces bastará considerar en el plano

una sola viga de basto en triángulo abc  
porque todos los puntos en paralelos a  
la arista b tienen la misma carga

Si se considera por la ordenadas

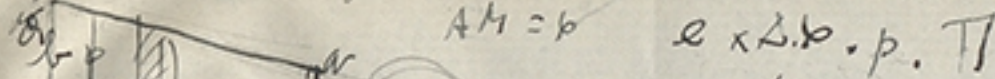
se consideran como ejes ab y ac, y se piensa en  
que el peso es horizontal de carga constante y se  
distribuye uniformemente. A veces son ejes e momento  
variable según las líneas. Una viga horizontal I,



con vigas equidistantes de la sección de  
medio largo. El peso de  $\frac{1}{2} \times 10^3 \times 300 \text{ kg.}$  es la  
carga por metro lineal  $\frac{1}{2} \times 4 \times 0.5 \times 300 \text{ kg.}$  es la  
carga constante,  $l = 300 / 2 =$  metro lineal  $s = 0.5 \times 300$



Si no se vigas se resiste a tracción:



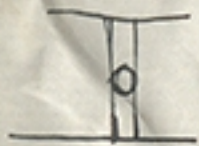
$$AH = b \quad \text{ex. S. p. T}$$

$P = aH + b$   $\Rightarrow$  ecuación de la recta  $RN$ .

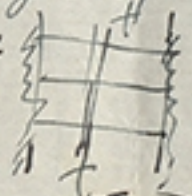
Si  $\rightarrow$   $P = f(\theta)$

También vemos: en a:

Cargas axiales: cuando la grava se aplica en una superficie muy pequeña, hace que se opte entre torcedores y la tracción de fondo de dichos elementos.



También:

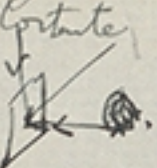


Si la  $\rightarrow$  tracción  $t t'$  de fondo, alto, y  $\delta$  en de anchos, es que las vigas serían más fuertes.

Los fijos se clasifican en: fijos en la valla de hierro, se

- fijos de tracción, de espes
- e aprietas, fijos de compresión.

talé  
by tangentes,  
Cortante



R<sub>t</sub>

R re donde se corta

Ejercicios elásticos: este el efecto de fases estíriales y <sup>04</sup>  
y el interior

Hay que tener presente que la fase elástica que es el  
se desarrolla por la acción de los estíriales  
Ejercicios elásticos: se ejercitaban las fases estíriales (nalgas  
piernas, etc...)

La elasticidad es constante para estíriales y superficies

Elasticidad de la raya. La proyección, que es una difusión  
por fases estíriales, al cesar éstas, recibe el nombre de parte  
de fase punitiva!

Es perfecta: si el ejercicio interrumpe recibe por completo  
la fase punitiva; si no, es imperfectamente el.  
Hacer los rebotes entre las fases estíriales y las defor-  
maciones que producen.

2) Hipótesis: 1) Considerar los capos constituidos por den-  
sidades moleculares, y distancias muy pequeñas, más  
que fases estíriales

• 2) Considerar como la más <sup>común</sup> de estos. Si se divide

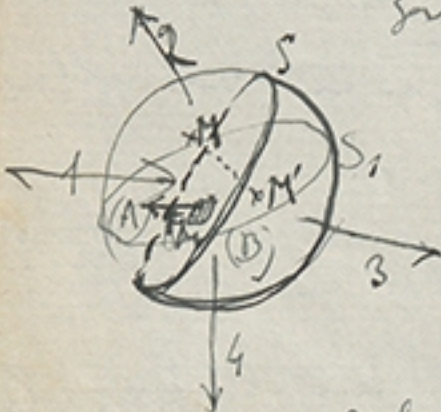
los mismos partidos, aparecerán los picos.

Hay fases libres o moleculares que se desarrollan por la  
acción de los estíriales.

Otras: la verificación consiste en ponerse de pie y se opone a los estíriales.



de un eje limitado: actúa fijos sobre la superficie de los lados. Tendrá deformación. Hay que tender a desplazarse; le oponerá ello, o los fijos abiertos.



Tendrá tendencia a deformarse. La deformación consiste en tener equilibrio. Si el eje se corta por la placa, lo divide en (A) y (B). Si se separan (A), quedan (B). No habrá equilibrio y se girará libremente hacia la parte de la sección fijos cerrados, equivalente a los abiertos.

Si se toma el eje infinitamente pequeño, y en el se aplica una fuerza  $F_x$ . Dividido  $\frac{ds}{ds}$  de los fijos a  $M_x$ , habrá menor fuerza molecular unitaria para cada punto. Se refiere a los componentes. El rotacional  $M_y$  y el tangencial  $t_z$ . El rotacional se obtendrá por la pendiente del plato. Se toman dos ejes rectangulares  $S_1$  y  $S_2$  y el tangencial se divide en  $\frac{1}{2}$ , luego en 3 componentes rectangulares. Pero esto depende del plato  $S$ . Si se hiciera por otra  $S$ , la fuerza distorsión sería diferente. Si se trae por momentos en cualquier dirección, habrá que rotar la sección.

Al superior fijo, se supone ligeramente  
Considerando deformación muy pequeña.  $\frac{1}{500}$  de la longitud en la recta.  
y la elasticidad elástica.

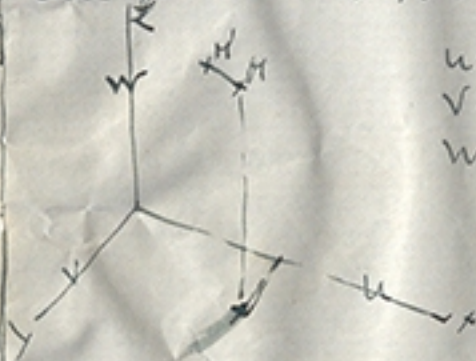
La dinámica (una ~~en~~ cuerda vibrante) nos estudie aquí.

Los demás vértices fijos están en las deformaciones.

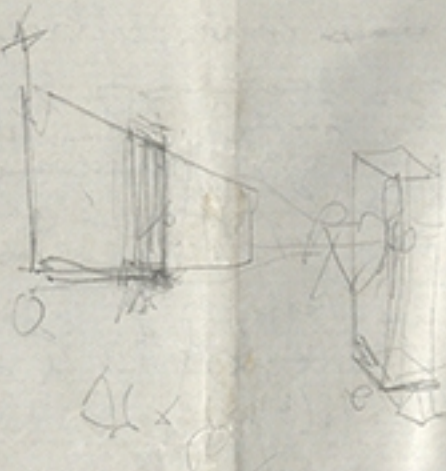
Tiene haber equilibrio, tiene de haber deformación.

Se refiere el caso a las condiciones

Cada punto se desplaza. Luego hay que considerar el desplazamiento de  
cada punto. Si  $M$  es el punto,  $M_R$  es el desplazamiento  $\vec{r} = \vec{a}, \vec{v}, \vec{w}$



$$\begin{aligned} u &= f_1(\text{leye}), \\ v &= f_2(\text{leye}), \\ w &= f_3(\text{leye}) \end{aligned} \quad \left. \begin{array}{l} \text{Si se consideran las tensiones} \\ \text{de deformación.} \end{array} \right\}$$



Los criterios dependen de los criterios y de la naturaleza del material.

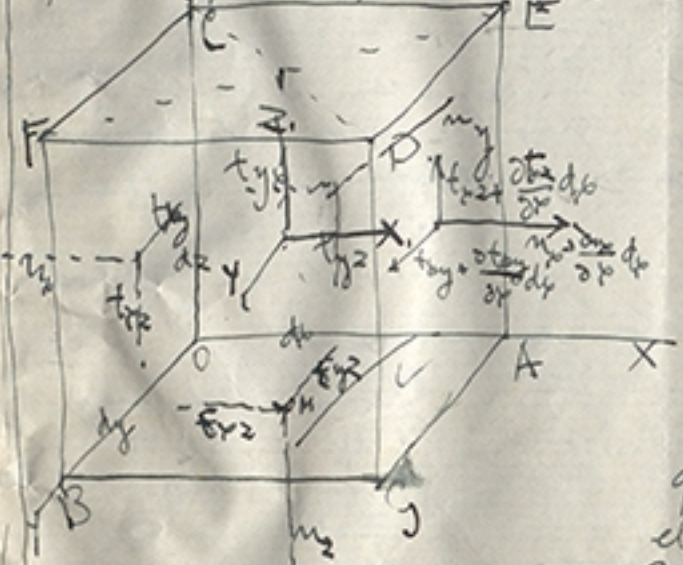
$\frac{\Delta P}{\Delta w} \rightarrow$  la fuerza de la malla de superficie en punto  $\frac{dP}{dw}$

Componentes según 3 componentes.

diferencia de caídas en paralelepípedo infinitamente pequeño por 6 planos paralelos a los coordenadas. Los criterios son dependientes de

El cuadro está en equilibrio bajo la acción de fuerzas interiores y externas al sistema, sólo cada elemento de cada cara, tiene que ejercer fuerzas equivalentes a las que ejercen las partes oppuestas. En OAB, se puede suponer que las acciones están distribuidas uniformemente ( $f \rightarrow s$  inf. pares). Si considera la parte anterior, la fuerza neta sea en el eje X por el área, de la fuerza elástica total de la cara. Cada fuerza elástica unitaria se descompone en 2 tangentes y en una normal.

En M:  $n = f_{xy} f_{yz}$ . La fuerza en las otras caras



Si se toma AGDB, con o pable a PCDB, se para de  
incrementos  $\Delta$ . Si considera constantes  $y_3$ .. no será  
 $y_2 = f(x_2)$ ,  $f(x_1 + \Delta x, y_2) = \frac{f(x_1, y_2) + f(x_2, y_2)}{2}$  por la fórmula de Taylor

$$I^* = y_2 + \frac{\partial y_2}{\partial x} \Delta x$$

En los trapezios & unimos  $I^* + \frac{\partial I^*}{\partial x} \Delta x$  ..

Así se estudian los 6 cuadros. En cada uno 3 componentes  
luego en total son 18 los que quedan a los obturadores apli-  
cados al paralelepípedo. Los obturadores se concuerden recayendo  
por el eje de los cuadrados.

Como es infinitamente pequeño, se puede considerar optico  
el centro del paralelepípedo, donde comprende los, dentro  
que tiene 3 componentes XYZ (referidos a la unidad de msa)  
XYZ son unitarias, las medidas serán  $\frac{1}{2} x \Delta x, \frac{1}{2} y \Delta x, \frac{1}{2} z \Delta x$

Los 6 cuadros de cuadrados se refieren 3 a los trapezios  $y_1$   
y  $y_2$  respectivamente.

Consideremos los ejes en el centro XYZ, y referimos a los  
también el Z, siendo el menor respecto este: el de la extensión



R)

se nulos, proyecta ejes sobre el eje de corte.

Luego las distancias son  $\frac{d}{2}$ . Los momentos de los que actúan son paralelos al eje  $\Sigma$  en nulos; luego se tienen los momentos de los  $\perp$

( $t_{xy} dy dz$ ) es lo fijo  $\frac{dy}{2}$  es la distancia:

$$t_{xy} dy dz \frac{dy}{2} + t_{xy} dy dz \frac{dy}{2} + \frac{2t_{xy} dy dz dy dz}{2}$$

Son positivos para la rotación.

La AOC:

$$\text{Los de } \Sigma \text{ corta, al eje } \Sigma: -t_{xy} dy dz \frac{dy}{2} - t_{xy} dy dz \frac{dy}{2} - \frac{\partial t_{xy}}{\partial y} dy dz dy dz \frac{dy}{2} = 0$$

$dy dz$  es factor común

$$t_{xy} - t_{xy} = 0 \text{ en el límite} \quad (t_{xy} = t_{xy} \text{ esto por el eje } \Sigma)$$

Para los otros los mismos:

$$\begin{cases} t_{xz} = t_{xz} \\ t_{yz} = t_{yz} \end{cases}$$

La 1<sup>a</sup>:  $t_{yz} = t_{yz}$  Ver planes  $\perp$ , nulos, a la recta de intersección, son iguales.

La suma de los proyecciones de los 3 ejes nulos.

Los exteriores al eje considerados aquí. Los que no lo son



3r son las que van 1 a cada  $\hat{y}$ . En  $X$  solo  $y$  y  $z$  quedan  
 ento; quedan:  $-u_x dy dx + (u_y + \frac{\partial t_{xz}}{\partial y}) dy dz - t_{xz} dt_x dy + (t_{xz} + \frac{\partial t_{yz}}{\partial z}) dxdy$   
 $-t_{yz} dx dz + (t_{yz} + \frac{\partial t_{xy}}{\partial y}) dx dz + X dy dz = 0$

Las hipótesis de  $\underline{Y}$  y  $\underline{Z}$  son

$$\cdot \frac{\partial u_x}{\partial y} dy dz + \frac{\partial t_{xz}}{\partial z} dy dz + \frac{\partial t_{yz}}{\partial y} dy dz + X dy dz = 0$$

El signo de  $X$  es el + o - al contrario de lo anterior

$$\left. \begin{array}{l} \frac{\partial u_x}{\partial x} + \frac{\partial t_{yz}}{\partial y} + \frac{\partial t_{xz}}{\partial z} + X = 0 \\ \frac{\partial u_y}{\partial y} + \frac{\partial t_{xz}}{\partial x} + \frac{\partial t_{yz}}{\partial z} + Y = 0 \\ \frac{\partial u_z}{\partial z} + \frac{\partial t_{xy}}{\partial x} + \frac{\partial t_{yz}}{\partial y} + Z = 0 \end{array} \right\} \text{Lo mismo para los } \underline{Y} \text{ y } \underline{Z}$$



$$\left. \begin{array}{l} t_{xy} = t_{yp} \\ t_{yz} = t_{xz} \\ t_{yz} = t_{xy} \end{array} \right\} I$$

$$\left. \begin{array}{l} \frac{\partial u_x}{\partial p} + \frac{\partial t_{xy}}{\partial y} + \frac{\partial t_{xz}}{\partial z} + x = 0 \\ \frac{\partial u_y}{\partial y} + \frac{\partial t_{yz}}{\partial p} + \frac{\partial t_{xy}}{\partial z} + y = 0 \\ \frac{\partial u_z}{\partial z} + \frac{\partial t_{xz}}{\partial p} + \frac{\partial t_{yz}}{\partial y} + z = 0 \end{array} \right\} II$$

Los 9 fxs elásticas están ligadas por estos 6 ecuaciones, que determinan 6 incógnitas, luego de los 3 de ellos, se conocen los otros 6.

Salvo la fxa que actúa sobre el vástago, basta para cada punto, la fxa elástica interna, correspondiente a la orientación local.

Se unen puntos de los 6, para que se tengan 3 planos contiguos.

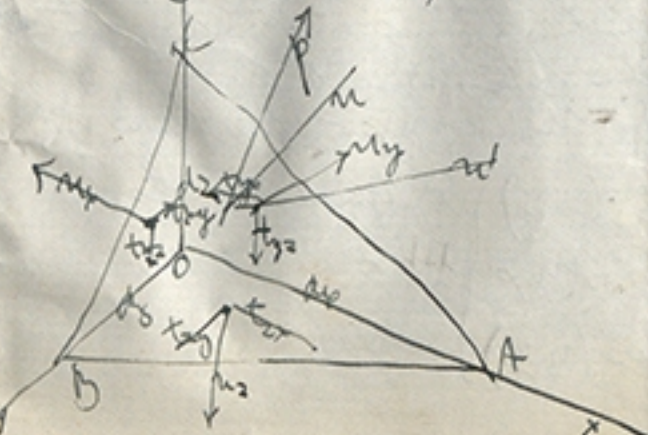
Considerando en vez del pleno

De forma parcial, los triángulos  
formados que son  $\sim XYZ$  donde  $dxdydz$

$$\text{El área de } ABC = \frac{1}{2} dydz.$$

La fxa interna y todos los puntos se han unido.

Se tienen los 9 fxos:  
En ABC la dirección 12



$AOB$ ,  $AOC$ ,  $BOC$  son respectivamente proyecciones sobre los planos de  $AOC$  ~~= d<sub>12</sub>~~ =  $d_{10}$

$$AOB = d_{10} \cos \angle n \text{ siendo } n \text{ binormal a } ABC$$

$$AOC = d_{10} \cos \angle n \}$$

$$BOC = d_{10} \cos \angle n \}$$

P es un vector: queda cominado por los 3 componentes y el punto de aplicación que cumplen 0

$$P = P_x + P_y + P_z$$

El tetraedro dental se encuentra en equilibrio por las fuerzas actuantes exteriores y las distorsiones.

Beste fuerza le dan las proyecciones sobre ~~los tres planos~~ los tres planos distorsionados en definitiva regresos de orden 3. Los estírios en  $F_x$  volumen del tetraedro que es un polinomio de 3<sup>er</sup> orden. Luego se desprecian estos: quedan:

$$X \dots p_0^2 = N_x \cos \theta_{BC} + t_{xy} \cdot AOB + t_{yz} \cdot BOC + N_{xy} \cos \theta_{BC} + d_{10} \cos \theta_{BC} + t_{xy}$$

con lo que:

$$p_0 = N_x \cos \theta_{BC} + t_{xy} \cos \theta_{BC} + t_{yz} \cos \theta_{BC} + t_{xy} \cos \theta_{BC} ; \text{ de igual modo:}$$

$$p_1 = N_y \cos \theta_{BC} + t_{yz} \cos \theta_{BC} + t_{xy} \cos \theta_{BC} \quad \text{III}$$

$$p_2 = N_z \cos \theta_{BC} + t_{xy} \cos \theta_{BC} + t_{yz} \cos \theta_{BC}$$

09

lasciar los cosenos directores: pedir para conocer las fases  
el sistema tangenciales

~~$$\bar{P} = \bar{P}_b + \bar{P}_y + \bar{P}_z$$~~ proyectar  $P$  sobre  $W$

$$P_{\cos(\alpha)} = K = P_b \cos X N' + P_y \cos Y N' + P_z \cos Z N'$$

En vista de  $P_b, P_y, P_z$  se entiende las salidas del apartado III

$$K = P_b \cos(XN) \cos(YN) + NY \cos(XY) \cos(ZN) + NZ \cos(XZ) \cos(YZ) +$$

$$+ t_{xy} (\cos(XN) \cos(YN)) + \cos(XN) \cos(YN) t_{yz} (\cos(YN) \cos(ZN) + \cos(XN) \cos(YN)) +$$

$$+ t_{xz} (\cos(XN) \cos(ZN) + \cos(YN) \cos(ZN))$$

Es la proyección de la fuerza del sistema material sobre otra dirección arbitraria. Se pide cambiar  $N$  por  $N'$  porque hay que reciprocidad, luego de los mismos proyectar sobre  $N'$  que sobre  $N$ . Ahora venimos a proyectar sobre el eje normal  $Y$  a la cara

$$K = N_p (\cos^2 NY + NY \cos^2 NY + NZ \cos^2 NZ + t_{yz} \cos NY \cos NY +$$

$$+ 2t_{xz} \cos NY \cos NZ + 2t_{xy} \cos NY \cos NZ)$$

Luego la fuerza del sistema material es la que actúa en el punto de  $NY, NZ, \dots$  &  $\star M$

Se proyecta ( $ABD$ ) horizonte a la  $\star M$ : Los extremos de los lados varían con la orientación:



estas K force es significativa tenemos los siguientes:  $\alpha_1 = \frac{1}{\sqrt{K}}$

Proyectando sobre los 3 ejes  $x = OM \cos \alpha_1 \beta_1 + OM \sin \alpha_1 \gamma_1$

$$\left\{ \begin{array}{l} \beta_1 = OM \cos \alpha_1 \beta_1 \\ \gamma_1 = OM \sin \alpha_1 \gamma_1 \end{array} \right. \quad \text{y} \quad \left\{ \begin{array}{l} \alpha_2 = OM \cos \alpha_2 \beta_2 \\ \gamma_2 = OM \sin \alpha_2 \gamma_2 \end{array} \right.$$

$$\alpha_2 = \frac{\alpha_1}{\sqrt{K}} = \frac{\alpha_1}{OM} = \frac{\alpha_1}{\sqrt{K}}$$

$$\gamma_2 = \frac{\gamma_1}{OM} = \frac{\gamma_1}{\sqrt{K}} = \gamma_2 \sqrt{K}$$

$$K = \alpha_1^2 K_{xx} + \alpha_1 \alpha_2 K_{xy} + \alpha_2 \alpha_1 K_{yx} + 2 \alpha_1 \alpha_2 K_{yy} + 2 \alpha_1^2 K_{zz} + 2 \alpha_2^2 K_{yy} + 2 \alpha_1 \alpha_2 K_{yz} + 2 \alpha_1 \alpha_2 K_{zy} + 2 \alpha_2^2 K_{zz} = 1 \quad (\text{una condición})$$

ya que  $\alpha_1$  y  $\alpha_2$  son perpendiculares entre sí y  $\alpha_1$  y  $\alpha_2$  son diagonales, por lo tanto los ejes principales no pueden ser affinios. Porque los ejes diagonales unitarios no pueden ser affinios. Luego  $\alpha_1$  y  $\alpha_2$  son diagonales.

Luego verámos que los ejes oblicuos o planos coincidentes con perpendicularidad.

Habrá 3 ejes del clípsilonide: referidos a ello no hay términos rectangulares. Luego los ejes principales nos dan 3 planos coincidentes; los otros son perpendiculares:  $\alpha_1 = 0, \alpha_2 = 0, \alpha_3 = 0$ .

Luego los tangentes son rectos.  
 Los puntos de los vértices principales son los vértices de los triángulos rectangulares del eje. Luego los vértices principales son los vértices de los triángulos rectangulares del eje.

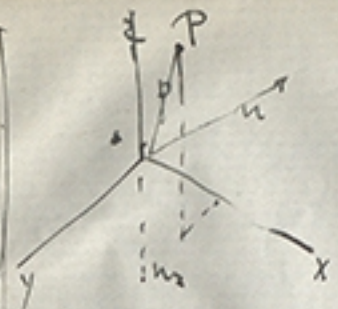
Si en vez de tener rotación omisión el segundo factor la tenemos sola:

$P$ : los coordenadas de los vértices son  $\sqrt{K}$  y  $\alpha_1 \beta_1$ ,  $\alpha_2 \beta_2$

$$b = P \alpha_1, \quad y = P \beta_1, \quad z = P \beta_2$$

$$P_1 = \cos \beta_1, \quad P_2 = \sin \beta_1, \quad P_3 = P \cos \beta_2, \quad P_4 = P \sin \beta_2$$





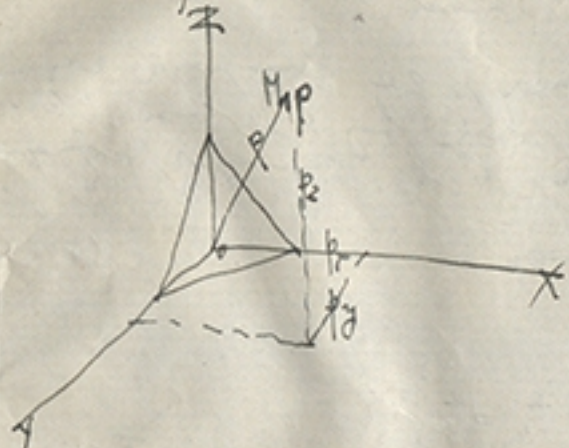
$$\hookrightarrow p_x = \frac{x}{p} \quad \hookrightarrow p_y = \frac{y}{p} \quad \hookrightarrow p_z = \frac{z}{p}$$

$$\hookrightarrow p_x^2 + p_y^2 + p_z^2 = 1$$

$$\frac{x^2}{p^2} + \frac{y^2}{p^2} + \frac{z^2}{p^2} = 1 \quad \text{so } \text{an ellipsoid}$$



Elipsoide de elasticidad (directo), un vector normal a cada sección y sobre él el segmento  $\overrightarrow{t}$  de el dipolo. Se proyecta sobre la recta  $P$  la d. de el dipolo. Algunas el plano, viene  $P$



$$M(u_{yz}) \quad P_x = x, \quad P_y = y, \quad P_z = z$$

$$P_x = u_x \cos(u_x) + t \cos(u_y) + t \cos(u_z)$$

$$P_y = u_y \cos(u_x) + t \cos(u_y) + t \cos(u_z)$$

$$P_z = u_z \cos(u_x) + t \cos(u_y) + t \cos(u_z)$$

Si los  $u_i$  fueran las direcciones principales, segun estas orientaciones, no los  $u_i$  se compone normales y greda:

$$\begin{aligned} P_x &= u_x \cos(u_x) + \cos(u_x) \frac{P_x}{u_x} \\ P_y &= u_y \cos(u_y) + \cos(u_y) \frac{P_y}{u_y} \\ P_z &= u_z \cos(u_z) + \cos(u_z) \frac{P_z}{u_z} \end{aligned}$$

$$\cos^2(u_x) + \cos^2(u_y) + \cos^2(u_z) = 1$$

$$\frac{P_x^2}{u_x^2} + \frac{P_y^2}{u_y^2} + \frac{P_z^2}{u_z^2} = 1 \quad \frac{x^2}{u_x^2} + \frac{y^2}{u_y^2} + \frac{z^2}{u_z^2} = 1$$

Luego  $x, y, z$  son los ejes principales de el dipolo.

Si  $u_x = u_y = u_z$  se dice el dipolo triple.

Si los  $u_x, u_y, u_z$  son  $0$ , se dice el dipolo en el plano  $X+Y$  y es un elipsoide doble.



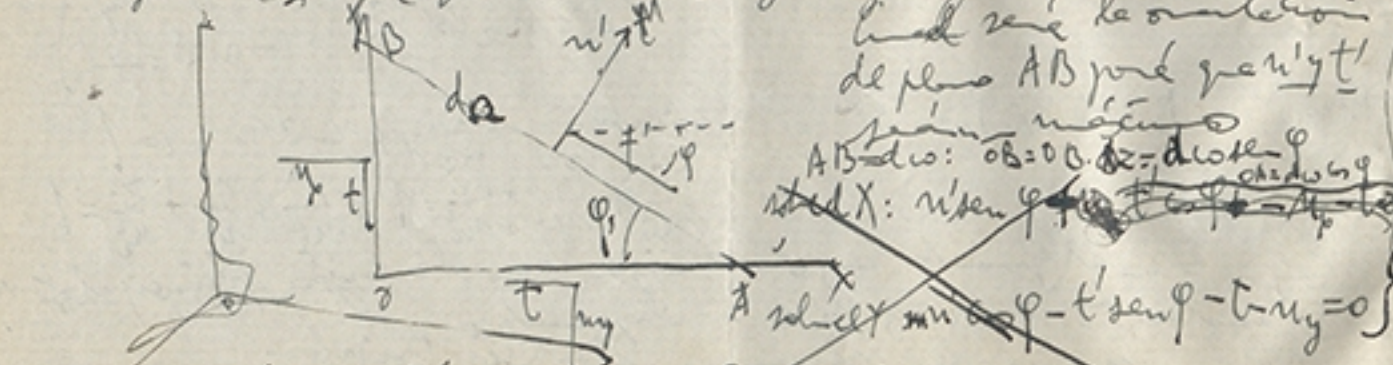
Si  $n_x = 0$   $n_y = 0$ , greda regular distos simple; solo hay fijo en el vértice 03  
 como fijos hay 162 muy pequeños quedan a regular  
 distos doble o plego, y el simple o lineal.

Si anexos los fijos, tiene la rotura, se considera que  
 el plan de rotura es perpendicular al eje de rotura, lo que hace la  
 rotura por el eje de fuerza disto es la mayor, porque  
 entonces saca el plan de rotura.

$n_z = 0$  todo este es  $X \times Y$ , luego  $t_{xy} = t_{yz} = 0$

$$\begin{cases} \text{t}_{xy} = 0 \\ \text{t}_{yz} = 0 \\ \text{t}_{xz} = 0 \end{cases}$$

Así greda:  $n_x, n_y, t_{xy} = t$ .

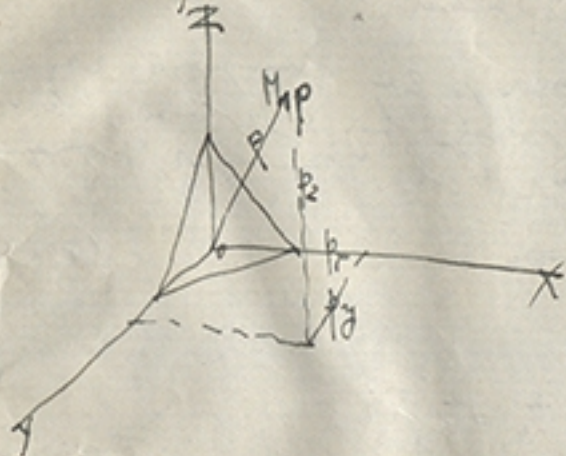


AB:  $OB = 0.0$   $\angle = 90^\circ$

AB:  $OB = 0.0$   $\angle = 90^\circ$

Hay que tener  $n_y \neq 0$ : Indicar métodos de reducción

Ejemplo de elasticidad (directa) en vector con la ecuación y  
sobre el segmento  $\overline{P_0P}$  de elástico. Si  $\vec{n}$  proyecta sobre la  
misma  $\vec{P}$  de la d. de elasticidad. Algunas el. planas, viene  $\vec{P}$



$$M(\omega_2) \quad P_0 = x_0, \quad P_1 = y, \quad P_2 = z$$

$$\begin{aligned} P_x &= n_x \cos(\omega_2) + t_{x2} \cos(\omega_1) + t_{z2} \cos(\omega_3) \\ P_y &= n_y \cos(\omega_2) + t_{y2} \cos(\omega_1) + t_{z2} \cos(\omega_3) \\ P_z &= n_z \cos(\omega_2) + t_{z2} \cos(\omega_1) + t_{y2} \cos(\omega_3) \end{aligned}$$

Si los  $\omega_i$  fueran los direcciones principales, segú estas orientaciones,  
no los  $n_i$  se componen  
normales y greda:

$$\begin{aligned} P_x &= n_x \cos(\omega_2) + \cos(\omega_1) \frac{P_x}{n_x} \\ P_y &= n_y \cos(\omega_2) + \cos(\omega_1) \frac{P_y}{n_y} \\ P_z &= n_z \cos(\omega_2) + \cos(\omega_1) \frac{P_z}{n_z} \end{aligned}$$

$$\begin{aligned} \cos^2(\omega_2) + \cos^2(\omega_1) + \cos^2(\omega_3) &= 1 \\ \frac{P_x^2}{n_x^2} + \frac{P_y^2}{n_y^2} + \frac{P_z^2}{n_z^2} &= 1 \quad \frac{x^2}{n_x^2} + \frac{y^2}{n_y^2} + \frac{z^2}{n_z^2} = 1 \end{aligned}$$

Luego  $\rightarrow$  elíptico cuyos semiejes son los cargos principales.  
Si entre los  $\omega_i$  hay un  $\omega_i = 0$  elíptico.

Si  $n_x = n_y = n_z$  régimen elástico triple

Si uno zero,  $n_i = 0$ , greda se elíptica en el plano  $X \otimes Y$  y es  
un régimen doble

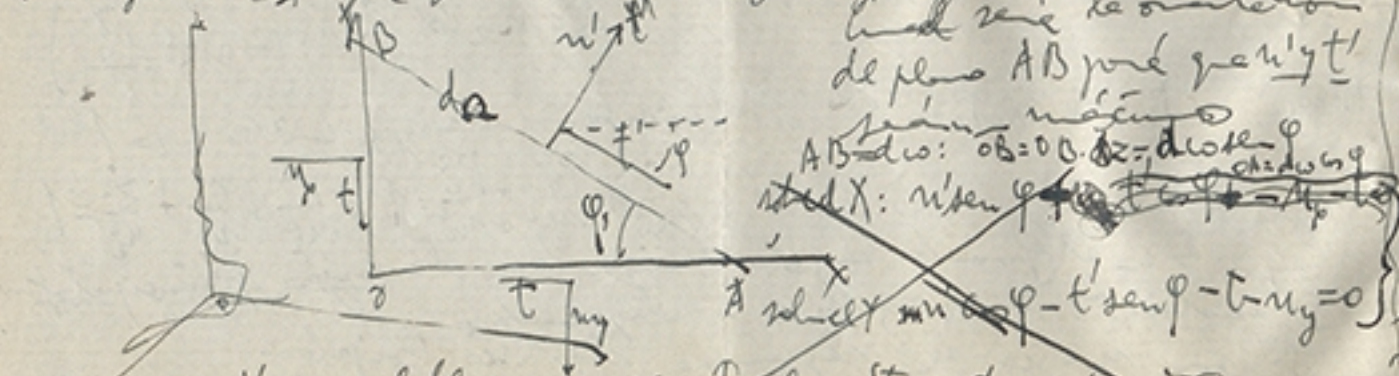
$\Sigma m_x = 0$   $m_y = 0$ , gede regirer elástico simple; solo lo fijo  
en d  $\Rightarrow$   $t_2 = 0$ . Como la rueda lo  $t_{2x}$  muy pequeño, gede regirer elástico  
doble o pleno, y el simple o lineal.

La amplitud de los gdes, entre la rotura, es mayor que  
el plazo de mínimo gdes elásticos, lo que hace bajar la  
rotura por el cual se produce elástico s' le mayor, porque  
entonces será el plazo de rotura.

$m_z = 0$ , todo está en X-Y, luego  $t_{2z} = t_{3y} = 0$ .

$$\begin{cases} \text{t}_{2x} = 0 \\ \text{t}_{3y} = 0 \\ \text{t}_{2z} = \text{t}_{3y} \end{cases}$$

Si gde media:  $m_x, m_y, t_{2y} = t$ .



Indicare la orientación  
de plazo AB por  $m_x, m_y$

AB doble:  $OB = 0$   $OZ = \text{distancia}$   
entre  $A$  y  $B$ :  $m_x = 0$   $m_y = 0$

AB simple:  $OB = 0$   $OZ = \text{distancia}$   
entre  $A$  y  $B$ :  $m_x = 0$   $m_y = 0$

$\Rightarrow$   $m_x = 0$   $m_y = 0$   $t_{2y} - t_{3y} = 0$

Hasta llegar  $m_x, m_y$ : And metodos de reducción

$$\left. \begin{aligned} & u' \sin^2 \varphi + t' \sin \varphi \cos \varphi - u_y \sin \varphi \cos \varphi = 0 \\ & u' \cos^2 \varphi - t' \sin \varphi \cos \varphi - (t + u_y) \cos \varphi = 0 \end{aligned} \right\} \text{Sumando:}$$

$$u' - (u_x + t) \sin \varphi - (u_y + t) \cos \varphi \xrightarrow{p=0} u' = (u_x + t) \sin \varphi + (u_y + t) \cos \varphi$$

$$\text{Jefe d } \bar{S}eO\bar{X}: u' d\Omega \sin \varphi + t' \cos \varphi d\Omega - M_p \sin \varphi dw - t \cos \varphi d\Omega = 0$$

$$\text{Jefe d } \bar{O}Y: u' \cos \varphi d\Omega - t' d\Omega \sin \varphi - t d\Omega \sin \varphi - u' d\Omega \cos \varphi = 0$$

Finalmente método de reducción dividido por  $d\Omega$ :

$$\left. \begin{aligned} & u' \sin \varphi + t' \cos \varphi - u_x \sin \varphi - t \cos \varphi = 0 \\ & u' \cos \varphi - t' \sin \varphi - t \sin \varphi - u_y \sin \varphi = 0 \end{aligned} \right\}$$

Por el método de reducción: le multiplicamos el 1º por  $\sin \varphi$  y el 2º por  $\cos \varphi$

$$\left. \begin{aligned} & u' \sin \varphi - u_x \sin^2 \varphi - t \sin \varphi \cos \varphi - t \sin \varphi \cos \varphi - u_y \cos^2 \varphi = 0 \end{aligned} \right\}$$

Al sumarlos: le leemos el 1º por sen y restando:

$$u' - u_x \sin^2 \varphi - t \sin^2 \varphi - t \cos^2 \varphi + t \sin^2 \varphi + u_y \sin \varphi \cos \varphi = 0$$

$$\left. \begin{aligned} & u' = u_x \sin^2 \varphi + u_y \cos^2 \varphi + 2t \sin \varphi \cos \varphi \\ & t' = t(\sin^2 \varphi + \cos^2 \varphi) + \sin \varphi \cos \varphi (u_x - u_y) \end{aligned} \right\} \begin{array}{l} \text{longitudes clítoris} \\ \text{lístulas de la sección plana} \end{array}$$

Lo que nos dice que estos son los componentes del mixed

$$L^2 p = \frac{1 + \cos 2\varphi}{2}, \quad \text{y } \cos \varphi = \frac{1 + \cos 2\varphi}{2}.$$

$$u_x = \frac{1 - \cos 2\varphi}{2} + u_y \frac{1 + \cos 2\varphi}{2} + t \sin \varphi, \quad t' = t \cos 2\varphi + (u_x - u_y) \frac{\sin 2\varphi}{2}$$

$$\left. \begin{array}{l} u' = \frac{u_x + u_y}{2} + \frac{u_x - u_y}{2} \cos 2\varphi + t \sin 2\varphi \\ t' = t \cos 2\varphi + \frac{u_x - u_y}{2} \sin 2\varphi \end{array} \right\} \text{Hg se habla el radio de } u_y$$

Se deviene risposte di  $\varphi$ ,

$$0 = \frac{du'}{d\varphi} = \frac{u_y + u_x}{2} \sin 2\varphi d(2\varphi) + 2t \cos 2\varphi, \text{ fatti: } d(2\varphi) = 2$$

$$(u_x - u_y) \tan 2\varphi + 2t = 0, \quad \tan 2\varphi = \frac{-2t}{u_x - u_y}$$

$$\text{avr } \tan \frac{2t}{u_x - u_y} + 2K\pi = 2\varphi, \quad \varphi = \frac{1}{2} \arctan \frac{2t}{u_x - u_y} + K\pi$$

$\hookrightarrow$  Ly poi  $\varphi$  do veloce, se definire  $\tau$

$$\cancel{\arctan \frac{2t}{u_x - u_y}} = \cancel{\arctan \frac{2t}{u_x - u_y} + \cancel{2K\pi}} \cancel{- \cancel{2\varphi}} \quad \frac{1 - \cos^2 \varphi}{1} = \frac{2 \sin^2 \varphi}{4}$$

$$\frac{dt'}{d\varphi} = 0 = -2t \cdot 2 \sin 2\varphi + \frac{u_x - u_y}{2} \cos 2\varphi \cdot 2, \quad -2t \cdot 2 \sin 2\varphi + (u_x - u_y) \cos 2\varphi = 0$$

$$-2t \cdot 2 \sin 2\varphi + u_x - u_y = 0,$$

$$\cancel{2\varphi} = \frac{u_x - u_y}{2t}$$



La ley de OC <sup>13</sup> las deformaciones no permanecen a los fueros de los origenes, tiene ciertos límites: los fueros distorsionan los materiales.

Estos son rigurosos, pero si supera este cierto límite, a los deformaciones se quedan permanentes y no se recuperan al quitar los fueros. Al final el periodo elástico, el resto del de deformaciones permanentes.

IV. ~~que~~ las deformaciones solo bajo de los límites

$$u = q_1 u_1 + q_2 u_2 + d_1 t_{12} + f_1 t_{22}$$

$$v = a_1 u_1 + b_1 u_2 + e_1 t_{12} + l_1 t_{22} + f_2 t_{22}$$

$$w = a_2 u_1 + b_2 u_2 + g_2 u_2 + d_2 t_{12} + e_2 t_{22} + f_3 t_{22}$$

$$L = M_1 u_1 + M_2 u_2 + P_1 t_{12} + q_1 t_{12} + r_1 t_{22} + s_1 t_{22}$$

$$\beta = m_1 u_1 + m_2 u_2 + p_1 t_{12} + q_2 t_{12} + r_2 t_{22} + s_2 t_{22}$$

$$d = M_3 u_1 + M_4 u_2 + \beta_1 t_{12} + q_3 t_{12} + r_3 t_{22} + s_3 t_{22}$$

En cada material hay coeficientes

Los definimos se llaman coeficientes de deformabilidad  
coeficiente de deformabilidad directa es en la de  $u$

| $u$   | $v$   | $w$   | $\alpha$ | $\beta$ | $d$   | $g$   |
|-------|-------|-------|----------|---------|-------|-------|
| $q_1$ | $l_1$ | $e_1$ | $a_1$    | $m_1$   | $P_1$ | $q_1$ |
| $q_2$ | $l_2$ | $e_2$ | $a_2$    | $m_2$   | $P_2$ | $q_2$ |
| $d_1$ | $c_1$ | $f_1$ | $b_1$    | $n_1$   | $r_1$ | $d_1$ |
| $d_2$ | $c_2$ | $f_2$ | $b_2$    | $n_2$   | $r_2$ | $d_2$ |
| $f_1$ | $s_1$ | $r_1$ | $g_1$    | $o_1$   | $t_1$ | $f_1$ |
| $f_2$ | $s_2$ | $r_2$ | $g_2$    | $o_2$   | $t_2$ | $f_2$ |

Son series lineales con las deformaciones

de los 6 efectos obter pero se podra para esto en función de las deformaciones. Los coeficientes serán de segundo orden los coeficientes de elasticidad serán los de  $u, v, w, x, y, z$ .

Llamando efectos homogéneos, isotropos (que es el punto trivaligual fuerza constante) los coeficientes directos serán iguales: los transversales tales

$$\begin{cases} u = a_1 n_x + b_1 (n_y + n_z) \\ v = a_1 n_y + b_1 (n_x + n_z) \\ w = a_1 n_z + b_1 (n_x + n_y) \end{cases}$$

Los coeficientes  $\alpha = q t_{yz}$

$$b = q t_{xz}$$

$$r = q t_{xy}$$

Se podrán dejar  $n_x, n_y, n_z, t_{xy}, t_{xz}, t_{yz} : t_{yz} = \frac{\alpha}{q} = \frac{1}{q} \alpha = S \alpha$

$$t_{xz} = \frac{b}{q} = \frac{1}{q} b = S b$$

$$t_{xy} = \frac{r}{q} = \frac{1}{q} r = S r$$

Los coeficientes de segundo orden

$$\left. \begin{array}{l} a_1 n_x + b_1 n_y + b_1 n_z = u \\ b_1 n_x + a_1 n_y + b_1 n_z = v \\ b_1 n_y + b_1 n_x + a_1 n_z = w \end{array} \right\} n_p = \frac{1}{D} \begin{bmatrix} a & b & b \\ b & a & b \\ b & b & a \end{bmatrix} \quad \begin{array}{l} \text{Elasticidad, transversal} = S \\ u - \frac{1}{D} \begin{bmatrix} a & b & b \\ b & a & b \\ b & b & a \end{bmatrix} \\ v + \frac{1}{D} \begin{bmatrix} b & b \\ a & b \\ b & a \end{bmatrix} \\ w \end{array}$$

el reflejo de este de directo  $\rightarrow E$ ,

$$n_{px} = Eu + L(v+w), \quad n_{py} = Ev + L(u+w), \quad n_{pz} = Ew + L(u+v)$$

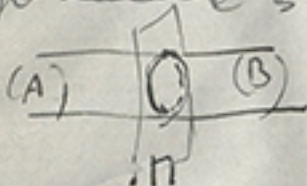


$$G = \frac{3}{5} E \text{ en la mitad}$$

Límite de ductilidad lateral.

En material de roca se forma retención, y producen pocos tramos, trabaja. La fuerza de resistencia es permanente y de la rotura.

Si se desarrollan pocos tramos, al aumentar las estriaciones aumentan los deslices; llegado el límite de ductilidad se desgarran las deformaciones. Coeficiente de resistencia permanente a el esfuerzo por unidad de superficie



Si se reemplaza la roca por un plástico.  
y los gabinetes en (B), lo que aplicar el efecto ductil - la flexión; la permanencia del coeficiente de resistencia permanente

Las deformaciones sueltas y se disiparán

[as lejanías de la fricción que produce deformación permanente]

El límite de la resistencia se basa trabajar por debajo del límite elástico. Esto es el periodo de deformaciones permanentes, lo peligro de rotura.

Lo que hará el coeficiente de seguridad o factor de carga

que es el de ductilidad

El resultado de esto es fiable para los esfuerzos de tracción y compresión, y se rotará (torsión). Es rígido, robusto



natura o piedra arenisca.

R = conforte pétros de distorsión por tracción R

- Compresión R'

- Corte o tracción R''

R' --- ---  
R'' --- ---

Los materiales son: R, R', R''

El factor de  $\frac{R}{S} > 1$  conforte de seguridad

Los tiempos para tracción: 50 Kg por mm<sup>2</sup>, se deben los trazar  
~ 10 ó 11 Kg por mm<sup>2</sup>

Apres trazar en 4 fases combinadas

Si se usan fases enteras solo 4 puntos, el trabajo de corte

se intensifica

Cada fase produce la deformación, cosa si fueran ríos

El trabajo total es la suma. El trabajo total se

distribuye más siempre, aunque sea de rigos tránsitos



Cuaderno de Geología 71

15

No se lleva el trabajo durante la construcción.

El valor límite de la pieza astia; reemplazado por 3 espesos tablones  
expresión <sup>vertical</sup> constante

El de Rotura se impone sobre todo lo demás, pero no es fácil  
a piedra o ladrillo. Sin embargo, se ve en construcciones ya basta para econo-

mática. Los módulos son los que más se trabajan.

La adhesión a la piedra viene de estos datos del periodobelastico.

Largos de los módulos con los que se levanta, entre 2 espesos

longitud de los módulos no estructurados: 1) predominio de

en equilibrio, no estructurados: 1) predominio de la

dimensión vertical entre los 2: piezas prismáticas

2) 2 dimensiones predominio, sobre todo el 3º. se consideran

los filos de piezas prismáticas

3) las 3 dimensiones predominan. Se consideran descompuestas

a prismáticas.

Pieza prismática: tiene una altura menor que el doble de

la anchura ~~y~~ ~~que~~ ~~se~~ ~~está~~

y tienen que ser más que recorrida

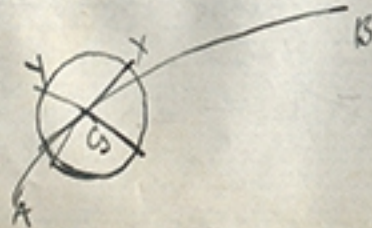
AB de modo el centro de gravedad

sobre A B, y el plano sea normal

a la linea. Y se dice que

de inercia este es el plano que

sea el normal principal.



Al deslizar que varía de los centros de gravedad de las secciones  
se puede ser constante o variar  
La leva es plana, el plano oscilante es el de la leva (figura) y el  
de circular es la rotación del plano normal a él de la leva.

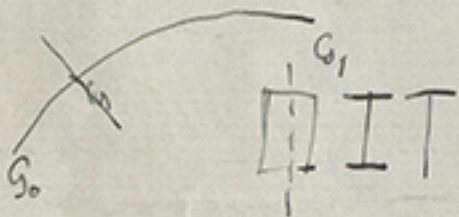
Puede ser la rotación constante o variable

Sección de los piezas perimetrales: sección plana normal a la  
recta.

La sección considerada consiste en el recto infinitesimal  
adherida longitudinalmente a la fibra. Fibra media se considera  
en el centro en torno a la

y desfíjase en la de dirección plana de la leva.

Figura recta si la dirección recta: si la sección generadora



tiene la forma de una triángulo, es la pieza principal  
de la sección (ya se le dice centro de inercia). Este se coloca perpendicular al plano de

la leva; si los planos, tanto planos de  
simetría y rectas piezas simétricas

Figuras de dirección plana y que  
la recta esté perpendicular al plano de

la dirección.

Hipótesis de Bernoulli

La pieza perimetral, por la acción de las fuerzas exteriores, se deforma de tal modo que las tensiones establecen el equilibrio

16

Estas deformaciones se consideran según pequeños

- 1) Se deforman todos los fibra: se pega de fibras, etc. obviamente, se acortan o elongan las vainas o curvaturas, las vainas planas dijeron de recto, pero las vainas planas y normales se distorsionan de modo que tienen vainas planas y normales.
- 2) Se admite que si habrá recto algo lo distorsiona y la forma de la vaina, se encuentra igual aparte de la deformación.

Los deformaciones rendirán a elongación o contracción de las partes de fibras y variación de curvaturas, y giro de las vainas planas. Hay algunos: acortamiento y cambios de curvatura de la fibra media y giro de las vainas planas.

Primer tipo: se ve ó dícto recto. Toda la placa de cristal.



Pequeños períodos rectos: de dícto / la recta.

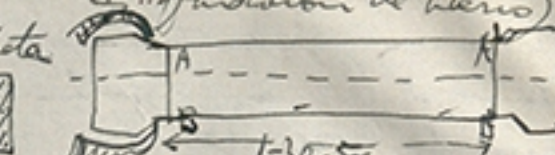
Los tipos de cromatografía simple, 1) composición simple, 2) constante.

Los flexiones triple o conjuntas

Se distingue a fases estrechas en equilibrio, etc. cuando esto ocurre cuando las vainas planas están en el equilibrio, no hace más que doblarse, infundiéndole tensión, AB o A'B'. Pero la densidad de la fibra se la tensión.

Esgo de rotos por tracción simple: a) Los que: elásticos  
 (hierro suave) y no elásticos (piedra, ballesta... fundición de hierro)  
 Un hierro o en acero, se prepara la probeta

De sección Q:



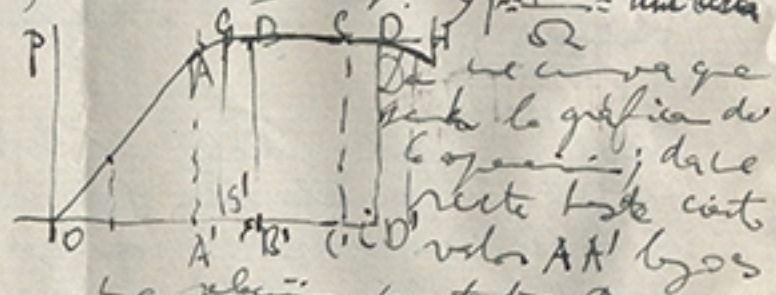
Que se rompe a la parte entre sección  
 van los gomas de la máquina y tiene que agu-

ar más L y Q: a cada rotura se conoce el esfuerzo  
 que se ha sustraído del esfuerzo que Q.

Límite de plásticidad simple, se diminuece algo la sección; pero  
 si alargarse es el que va aumentado por la carga.

A cada esfuerzo viene P (esfuerzo de resistencia)  $P = P_{\text{máx}}$   
 que es el esfuerzo de rotura

Abscis: ordenadas P



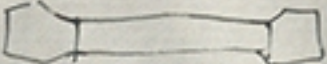
Los sección AB, y este es recta BC

Es la pendiente P constante y es DH cuando  
 sigue el esfuerzo hasta la rotura H.  
 Siendo OA de la proporcionalidad  $\frac{P}{F} = \text{constante} = E$  (coeficiente de elasticidad)

$p = Ei$  (Ley de Hook)  $\rightarrow$

~~que~~ g-todo la fase recta le cogió punto  
GAD la fase elástica recta todavía le cogió punto  
donde la  $\zeta$  es punto GS' que es el límite del periodo elástico  
el período DC es de las deformaciones permanentes

pero CD se varía  $\beta$  ante la deformación, rebote, etc.



S el período de rotura

la fase elástica

(Período de hundimiento)

CD =  $\zeta$  de H.

$$\frac{P_n}{S} = R$$

5045 Práctica



El coeficiente de deslizamiento:  $\mu = \frac{P_f}{P_i}$  es el cociente de la fuerza en el eje de superficie por la fuerza en los puntos abstraídos, los que forman la mitad de la mitad grande.

Si se ve alargado, los resultados trasladados no van volviendo, los contenidos dentro del periodo elástico no permanecen, y por tanto si se va a los alargamientos

$$\mu = \frac{P_f}{P_i} \text{ el cual varía de } 0.25 \text{ a } 0.35$$

Si se trata de tales los deformaciones están dadas por

Eos contenidas dentro del periodo elástico

los puentes, pueden muy excederse del límite de elasticidad y los fondos: hierro, hasta 18 Kg/mm<sup>2</sup> para mazda dentro del periodo elástico:

$$E = 19.500 \text{ Kg/mm}^2$$

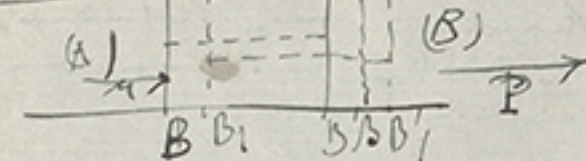
$$t = \text{es la fuerza por unidad de longitud de hierro - filo} \\ \left\{ \begin{array}{l} \text{de } 18 \text{ a } 28 \text{ Kg/mm}^2 \quad E = 19.500 - 1500(t-16) \\ \text{filo} \end{array} \right. = 43.500 - 1500t$$

$$\left\{ \begin{array}{l} \text{hasta } 18 \text{ Kg/mm}^2 \quad E = 22.000 \text{ Kg/mm}^2 \\ \text{acero.} \quad \text{hasta } 25 \text{ Kg/mm}^2 \quad E = 22.000 - 2000(t-18) \\ \text{filo} \end{array} \right. = 58.000 - 2000t$$

Si la extensión permanece, dentro del periodo elástico varía indefinidamente, pero si está fuera, hay rotura los esfuerzos repetidos lo mismo



Bocanadas de resistencia : sea dos secciones AB y A'B'. Se desplaza la bocanada de la bocana de la distancia AB y A'B' sea a A, B, y A', B', A'A, -A'B' es el desplazamiento.



Si bocanadas que A, B, coincide con A', B', sea ad. B, la A'd es el desplazamiento.

Las fijas en la misma sección son todas iguales y normales, su voltante es más chico, aplicada al centro de gravedad de la sección (en su punto más alto) para establecer el equilibrio, las de gravedad fijas a la sección. La fija estacionaria debe rotarse, en sol. en el eje, (para no aplicarlas a los cables?)

Por lo tanto la fija, no es la voltante de los cables

P = n u siendo P la cableación

n es la fija d'fijo interior que vende contra el material  $E = \frac{P}{l}$  } n es la fija removible de superficie en el punto de  $P = nR$  } la tensión, que no debe llegar al límite de elasticidad  $R$

$$n \leq R, \text{ al més } n = R, \quad P = R \cdot R$$

En esto se puede determinar los sistemas simples

La  $P = R$  de sobre 3 problemas, los 3 cables de la 3ª sección



de los dos 2.

$\Omega = \frac{P}{R}$  de la fuerza que vence la resistencia  $P$ .

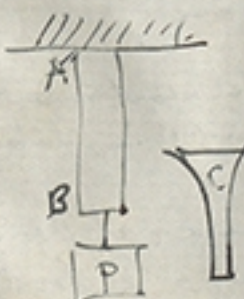
$L = 5$  m de bién, para rotar 5000,  $\Omega = \frac{5000}{10} = 500 \text{ mm}^2$   
peso bién nos trae por el bién  $\approx 10 \cdot 11 \text{ kg por mm}^2$

Dado el peso, vencer el esfuerzo de resistencia:  $P = R \cdot \Omega$   
Problema de económico: un peso colocado en una cuerda con un coeficiente de rebote. Se calculan  $R$  y  $P$  en el que se saca  $R$ ; si  $R > 10$  se ignora.

Calcular  $E = \frac{P}{i}$  ó  $E = \frac{R}{i}$  para el rebote de  $P = R$ .

Donde se sacan  $E, R$ , si consideras los dos.

$$\frac{R}{E} = i = \frac{L}{Z} \Rightarrow \text{luego } l = L \frac{R}{E}$$



Rede en de sección constante o variable.

Es una función de peso del cable.  $\rightarrow A$  es la cuña que más resiste  $R \cdot \Omega = P + p l$  siendo  $p l$  el peso del cable.

En B habrá menor peso, peso se lo da igual que en A. peso en C que es menor que todos restantes igual al de la forma C.

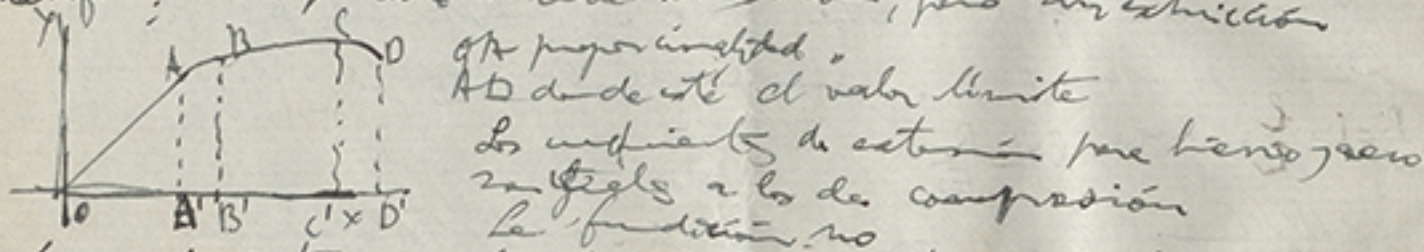
Peso trae éstos rebotes, rotación a una vez simple, todo se sección el deformarse, se ve trae ésto al lado

drecto; la parélela, entre 2 secciones se corta.

Se hace un ensayo análogo al de compresión; los rigüens que sacan los de esfuerzo. Los probetas de ensayos, son diferentes. Los tiene que ser cortos porque no infansen entre sí. La longitud es doble de la menor sección transversal.  $\approx 1\frac{1}{2}$  vez.

[En los piedras y en el resto de esteras solo las rotura]

Los cuarzos son normales a la dirección, y los plátanos trabajan por todo la superficie (a veces se rompen) y están bien centrados. La deformación es grande a la de estiramiento, pero sin estriccia.



Los rigüens de esteras son bien gruesos  
en fregos a los de compresión  
La fundición no

Los cuarzos transversales se agrandan, e fundición del acortamiento  
Pueden oírse estresos por el plegado; que los agujeros laterales  
forman parte de la base

En lo que no se rompe, se puede determinar el periodo  
estresos, solo el de fundición. En la fundición los agujeros se desprenden  
fundiciones (hasta 10, 15 kg por mm<sup>2</sup> de efecto de fundición  $E = 9000 \text{ kg/mm}^2$ )  
"de 15 a 25 kg" " "  $E = 9500 - 10 t$

25 a rotura  $E = 12.15 - 200 t$

Línea para este periodo a presión estiramiento, los se estiran dentro

$$E = \frac{P}{L} = R \quad p = R \Omega \quad R = \text{esfuerzo unitario}$$

$\Omega = \text{sección}$

Hasta el momento, si es el caso, para las mallas en tensión, -- para cargas  
Kg por m<sup>2</sup>. La pieza pincha, pierde su integridad en la parte del punto  
de la pieza.

Teniendo en cuenta del punto la pieza

E A B no hay más esfuerzo que el punto p

que se tiene A' B', sostiene todo el peso de  
la parte x. Si continuo por A' B', tiene rebotes  
y oscillaciones, donde que quieran fijos y móviles  
y el otro, que tengan por resultado X. Los dos

fijos se apoyan  $X = p + \sigma_2 \cdot \pi \cdot \Pi$  siendo  $\Pi$  el peso por unidad de volumen

impone el criterio  $M_x = \frac{X}{\Omega} = \frac{p + \Pi \cdot Q_x}{\Omega} = \frac{p}{\Omega} + \Pi x$  Es el coeficiente  
de trabajo  $\rightarrow$  fricción:  $\frac{p}{\Omega}$  constante, y solo depende de x

$$m_x = \frac{p}{\Omega} + \Pi L \quad \text{Lento peligroso} \rightarrow AB, m_x \geq R ..$$

$$R = \frac{P}{L} + \Pi L ..$$

$$\therefore R = \frac{P}{L} + \Pi L \quad i = \frac{m_x}{E}$$

$i = \frac{P}{E}$ , R es el mayor valor de  $m_x$ , i =  $\frac{m_x}{E}$   
L tránsito, el largo de este se calcula  $i dx$ , punto en el que el  
velocípedo =  $\frac{m_x}{E} dx$   $\Rightarrow \frac{1}{E} + \left( \frac{P}{L} \right) \frac{dx}{L}$

$$\text{de donde se le integral definida de } \int \left( \frac{P}{L} + \Pi x \right) dx = \int \frac{P}{L} dx + \int \Pi x dx$$

$$= \frac{P}{L} \int dx + \frac{\Pi}{2} \int x^2 dx \Rightarrow l = \frac{PL}{2E} + \frac{\Pi \cdot L^2}{E \cdot 2} \quad l = \text{el total: por unidad}$$



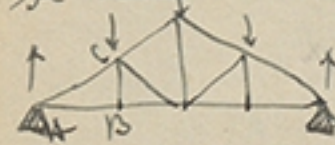
$$\text{Longitud total: } l = \frac{L}{E} = \frac{P}{RE} + \frac{\pi L}{2E}$$

En el diagrama se muestra la forma de la parte superior y el riesgo de rotura.

$$R = P + \pi L$$

Para la compresión se aplica la ecuación de los esfuerzos y se considera que el peso del tubo.

se tiene en cuenta el peso de la parte.



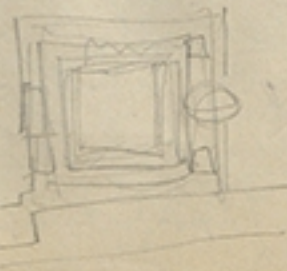
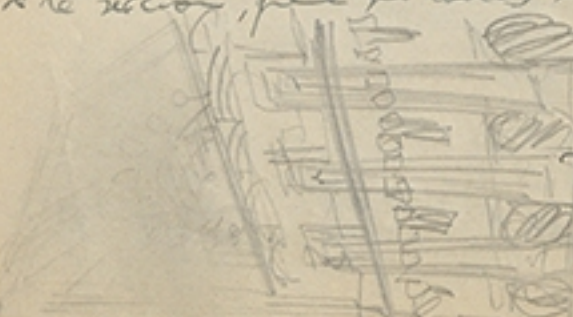
Se puede determinar la resistencia de los tubos AB y AC; si sea por  $P = R D$

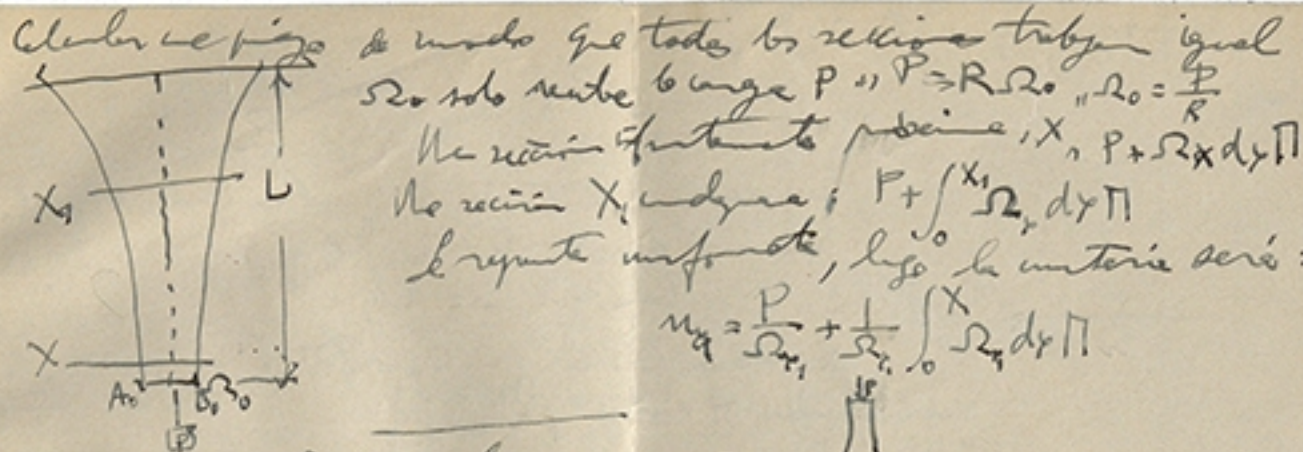
Si los tubos son iguales con relación a la resistencia, no habrá problema, se aplica la fórmula.

Sería  $R = \frac{P}{\pi} + \pi L$ . Si  $\pi L$  es más grande que el efecto de tracción, se rompería por el peso.

Entonces se considera la parte de recorrido variable.

Para evitar el efecto de material, si se toma un tubo de  $\sim 8\text{ kg}$  de recorrido constante, se rompería por el efecto de la recorrida, pero si todos los tubos tienen el mismo diámetro.





También vive por la compresión

esta fuerza nortante no debe ser menor que  $R$ ,  $R = \frac{P}{R_{y_1}} + \frac{1}{2} \int_0^X R_y dy \nabla$

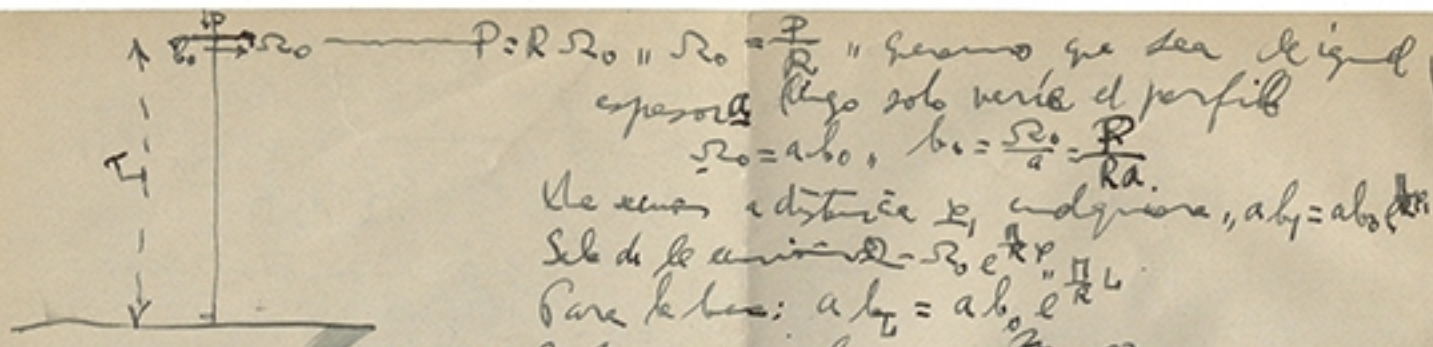
$$P + \int_0^{X_1} R_y dy = R R_y = R_y \text{, elevación de } X_1, \text{ es fricción de } X_1$$

Luego  $\rightarrow$  tener fijo de  $X_1$  para ser definido:  $P$  constante y  $R$  también; todo es función de  $X_1$

Diferenciando  $\int_0^{X_1} R_y dy = R dR_1$ ,  $\frac{d}{dx} \int_0^{X_1} R_y dy = \frac{dR_1}{dx}$ ,  $\frac{d}{dx} \int_0^{X_1} R_y dy = \frac{dR_1}{dx}$  integrando

$$\frac{R}{R_0} = l \cdot \frac{R_1}{R_0} - l \cdot \frac{R_0}{R_0} \Rightarrow \frac{R_1}{R_0} = l \frac{R}{R_0} = e^{\frac{R}{R_0}}, R = R_0 e^{\frac{R}{R_0}}$$





$P = R \cdot R_0 \parallel R_0 = \frac{P}{R}$  " tenemos que sea el igual  
espesor de los dos vértices del perfil  
 $R_0 = ab_0, b_0 = \frac{R_0}{a} = \frac{P}{R a}$

Se cumple la distancia  $b_0$  entre los vértices  
Se da la altura  $R_0$  e  $\frac{P}{R a}$

Para las bases:  $a_{b_0} = ab_0 e^{\frac{P}{R a}}$

Si fuese circular:  $a_{b_0} = R_0 e^{\frac{P}{R a}}$

$$\text{Se cumple } \pi r^2 = \pi R_0^2 e^{\frac{P}{R a}}$$

Se da la medida para calcular el radio



Ejemplo cortante simple: las fibras están situadas en el plano de sección, y la resultante pasa por dentro de gravitación. Las fibras quedan en el plano.



Si se considera una fibra en el centro, las fibras quedan en el centro, y ninguna se va más lejos.

Si se considera una fibra en el vértice:  $i_1 = \frac{b_0}{a}$  es el radio,

$$i_2 = \sqrt{a^2 + b^2}, \text{ es el radio en el vértice: } g = \frac{T}{\frac{R}{i_2}}$$

Si  $\frac{T}{g} = R$  radio de la fibra y el radio  $i_2 = d$ ,  $\frac{T}{g} = R$

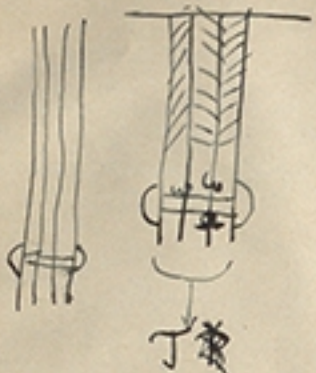
Si se determina  $G$ , se expresa  $G$  en  $E$ .  $G = \frac{3E}{2G}$  es la medida.

Los radios totales de tracción y de esfuerzo cortante  $R$

$$R = \frac{1}{G} R$$



El efecto de telo + una molécula  $t = \frac{4}{5} n$  siendo  $t \in R^4$   
 El efecto cortante se reparte en varias secciones en vez  
 Varios desglosos



En una sección,  $n = 2n_2$ ,  $n_2 = 2$

$$n_2 = n_w = \Omega_2$$

$$T = R'' \cdot \Omega_2 = R'' n_w, \quad T = R'' n_w$$

Para 2 secciones de cable similar

Hay efectos combinados de tracción y compresión  
 con el cortante, y el principio de superposición

de efectos, ni extensión y rotación, y están separadamente y  
 se suman  $R_1, R_2$ . Dado extensión  $4 \text{ kg/mm}^2$  y rotación  $37^\circ$   
 sabemos  $4+5 = 9 \text{ kg/mm}^2$ ) F es el efecto de telo total:

$$F = \frac{3}{8} n + \frac{5}{4} \sqrt{n^2 - 4t^2}$$

Resul:  $F = \frac{1}{2} n + \frac{1}{2} \sqrt{n^2 - t^2}$  { esfuerzo de tensión desglosado  
 $t$  " " " " " esfuerzo cortante



Redondo todo a estanco compresión por la vaina de lo terape  
 Aislamiento. Los rotulios se dilatan o contraen por lo terape  
 Si este rotulo va en estano y dilata el terape, todos  
 - contraer, y como no vale, se desarrolla hacia adentro  
 las cañadas. Si anula de terape, no vale porque  
 por la injercción de los estanos

Este es un tubo, no un tubo que se engaño de lo  
 por una. Es así en el interior de el fierro, recubierto de  
 férula, no se tiene exacto. Pero si es el exterior, y a  
 diámetro de 6000  $30^{\circ} 16'$ . La longitud del tubo es de 405 mm  
 por mm. Coeficiente de dilatación lineal, es de largo de 0.00012  
 metro, interior, el varía la temperatura  $1^{\circ}$ ,  $\approx 8 \frac{0.00012}{0.00012}$   
 Tercer grado:  $S = 0.00012$   $\frac{0.00012}{0.00012}$

$$S = 0.00012$$

Los metales pétros tales transformante, elementos así  
 igual al del fierro.

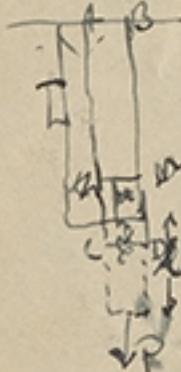
$$\text{Si } R = \text{l coeficiente de Tubo, } E = \text{l de ductilidad: } E = \frac{R}{l} = \frac{R}{\frac{L}{T}} = \frac{R}{T} \text{, } l = \frac{R}{E} \text{, } E = \frac{R}{\frac{R}{l}} = l \text{, } R = E l$$

$$\text{Una variación de } 30^{\circ} = 27 \text{, } E = 20000 \text{ Kg/mm}^2$$

$$R = 20000 \times 0.00012 \times 30 = 72 \text{, } 12 \times 2 \times 30 = 72 \text{, } \text{Pre la caja de } \\ \text{largo } 10.$$



Rotación viva para rotación o compresión. Es el efecto de los  
componentes paralelos entre los ejeys. El eje en rotación fija  
rotaciones fijas, las deformaciones. Excepto éste se fija  
y se produce un desplazamiento que en la rotación = fijo + cambio  
de los momentos en función del eje + la velocidad.



Se fija su eje gradualmente.

Si  $P$  vale  $P_0$ , el desplazamiento es  $\infty$ .

Mantener constante el eje es  $\frac{P}{P_0}$ . El trabajo es  $\frac{P_0}{P} dx$

El trabajo para girar el eje es  $\int \frac{P}{P_0} dx$ .

Esto es la mitad de vivo.

Aquí tienen el efecto estético y el dinámico,

$P$  y  $dx$ .

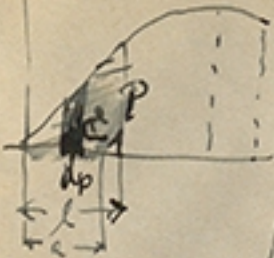
Si se hace la rotación y los momentos paralelos y paralelos se  
tienen los trabajos para la mitad de la velocidad y la velocidad; cuando no  
se hace una rotación es el hierro

Si el eje de  $O$  es fijo durante el periodo abierto, entonces  
vive elástica. Si éste es el efecto de la rotación, es la mitad de vivo

y fija.

Dicho del periodo abierto, el eje se puede leer analíticamente  
y graficamente. Física, solo graficamente.





Puedo sacar la integral vale:  $\int_0^l \frac{P}{E\Omega} dy = \frac{Pl}{E\Omega}$  integrando

$$\text{Datos del pliego d'hebja: } E = \frac{L^2}{R} = \frac{h}{x}, R_p = E \times Q, \quad \text{Entonces: } \frac{Pl}{E\Omega} = \frac{h}{x} \cdot \frac{P}{L} = \frac{P}{L}$$

$$\text{Puedo sacar lo total: } P = \frac{E\Omega l}{2}$$

$$\int_0^l P dy = \int_0^l \frac{E\Omega l}{2} dy = \frac{E\Omega l}{2} \int_0^l y dy = \frac{E\Omega l}{2} \frac{l^2}{2} = \frac{E\Omega l^3}{4} = \frac{P\Omega l^3}{2} \quad l = \frac{Pl}{2} = \frac{Pl}{2} \rightarrow \text{los radios van siendo iguales (a)}$$

Líneas d'hebja para elegir a. Puedo:  $P_{pl} = \frac{Pa}{2}$   
 Es simple: las fuerzas y deformaciones. La parte d'hebja para sacar  
 para obtener el módulo, pero  $R_p = \frac{C}{V}$  el volumen, la que  
 le misterio viene especifica: el efecto de calidad:  $C = \frac{C}{P_{pl}}$

$$C = \frac{Pl}{252L} = \frac{1}{2} \frac{P \cdot l}{\Omega L} = \frac{1}{2} R_i$$

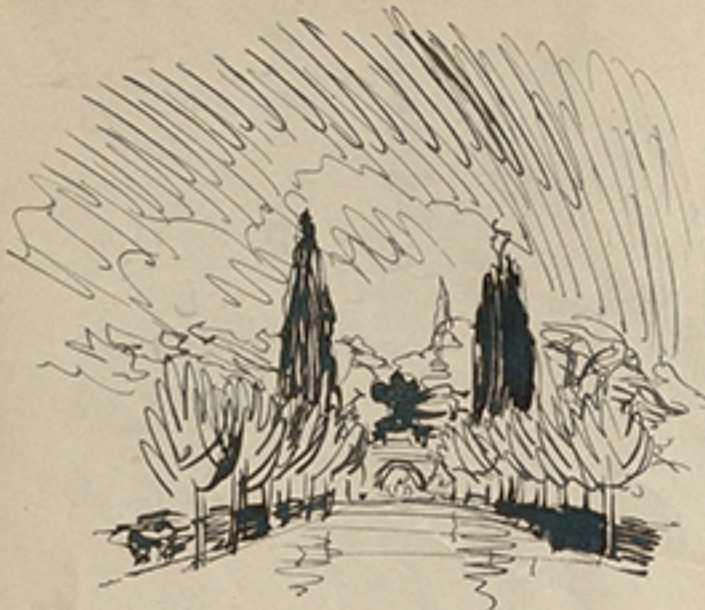
$$C = \frac{C}{P_{pl}} = \frac{C}{\frac{Pa}{2}}$$

En vez de  $R$  se pide poner  $R$  que sea de fractura:  $R = \frac{1}{n} R_i$ ,  $C = k R_i$   
 Se impone bien en el taller y en obra, si  $C$  es grande.

El hierro es de buena calidad  $R = 32436 \text{ kg/mm}^2$ ,  $C = 45$

$$\text{Fractura } R = 3645 \text{ kg/mm}^2, C = 9$$





Trenzado que gira de a verde y cables:

Cables de carbono, 3,66 radios entre los cables, o sea el.

Es aproximadamente circular. Tomamos por la linea de la sección  
Círculo inscrito

Hay que tener en cuenta si es carga permanente o accidental

Línea permanente:  $R = 1 \text{ kg/mm}^2$

Accidental:  ~~$R = 3 \text{ kg/mm}^2$~~   $R = 2 \text{ a } 3 \text{ kg/mm}^2$

$E = 200 \times 10^9 \text{ kg/mm}^2$

$R = 8 \text{ a } 10 \text{ kg/mm}^2$

Cables ~~separados~~ juntos, resistencia menor: La resistencia  $\frac{1}{2} \text{ o } \frac{1}{3}$

Línea enredada,  $\frac{2}{3} \text{ a } \frac{3}{4}$  de la carga real

Línea redonda sola se hincha no estiramiento, cuando se resiste

Límite de la cuerda se rompe: La carga de rotura:  $l = \frac{1}{6} L$

Límite de desgaste:  $l = \frac{1}{16} L$

Veo para mitad de cuerda a fin del diámetro:  $P = 0.0007 d^2$

Línea enredada

$P = 0.0008 d^2$

Carga de Rotura ...  $P = 5 d^2$

Carga plástica ...  $P = d^2$

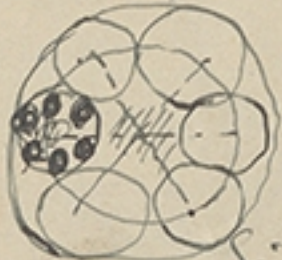
~~$P = R \cdot \pi \cdot \frac{d^2}{4}$~~   $P = R \cdot \pi \cdot \frac{d^2}{4}$   $R = 1 \text{ kg/mm}^2, P = 52$

Línea enredada  $P = 2 \frac{1}{2}$



Para grandes cargas, serán cables de alambre: el cable viene en un  
en unido formado de bobinas: y para los cables, en algunos de los  
arrollados a la aline de cintamo \*

El cable se forma por varios cordones estirados a la aline de cintamo.



El diámetro se pone con la consideración de la  
flexibilidad.

Si  $n$  = número de alambres, se tiene:

El diámetro se hace lo más pequeño.

El diámetro exterior es:

$\text{Si } n = \text{número de alambres}; n = 36 \text{ o } 6 \text{ cordones}$

6 alambres:

$$\begin{array}{lll} n=36 & n=48 & n=54 \\ \frac{D}{d}=8 & \frac{D}{d}=10\frac{1}{2} & \frac{D}{d}=11\frac{1}{3} \\ \frac{D}{d}=11\frac{1}{3} & \frac{D}{d}=12\frac{1}{2} & \frac{D}{d}=13\frac{1}{2} \\ \frac{D}{d}=14\frac{1}{2} & & \end{array} \quad \begin{array}{lll} n=60 & n=66 & n=72 \end{array}$$

La fórmula práctica para el diámetro de hierro grueso

Hierro:  $R = 8 \text{ a } 10 \text{ mm}^2$ .

Acero:  $R = 12 \text{ a } 14 \text{ mm}^2$

Unas se pondrá tener este  $25 \text{ Kgr/mm}^2$

Entonces el peso por unidad, el diámetro lo reban.

$$\left. \begin{array}{l} P = 0.0061 \text{ nd}^2 \\ P = dL \end{array} \right\} \text{ Si } n=36 \text{ D}=8 \text{ " } \quad \left. \begin{array}{l} P = 0.00306 D^2 \\ P = dL \end{array} \right\} \text{ Si } n=36 \text{ D}=8 \text{ " }$$

(1) Los bellos para la carga en fijos del bién  $\rightarrow$  D  
 La carga total de funda se tiene  $P$  y de plástico  $P$   
 $P_0 = 15 \text{ D}^2$  Hierro; La carga plástica de  $\frac{1}{10}$ ,  $\{P = 1'5 D^2$  Hierro  
 $P_0 = 35 D^2$  acero }  $\{P = 3'5 D^2$  Acero  
 A más se pone la carga plástica dentro el diámetro del  
 abanque.

$$\text{Hierro : } P = 7107 \text{ nd}^2 \quad R \text{ se mantiene } R = 9$$

$$\text{Acero : } P = 9143 \text{ nd}^2 \quad R \text{ " " " } R = 13$$

Ento la carga total y el peso es m lineal. Y se establece  
 lo siguiente:

$$\frac{P}{P_0} = \frac{7107}{0'0061} = 1159 \quad \text{Hierro ..} \quad \frac{P}{P_0} = \frac{9143}{0'0061} = 15246$$

$$P = 1159 \text{ p. p. el peso es neto lineal.} \quad P = 15246 \text{ p}$$

Si el cable pesa de 1159 neto, no soportaría peso alguno

y si pesa ~~menor~~ mejor se comporta por su peso.

Si  $\rightarrow$  logo b se tiene entre los pesos, el peso total  
 es el peso que podé traerse piezas al peso deseable,

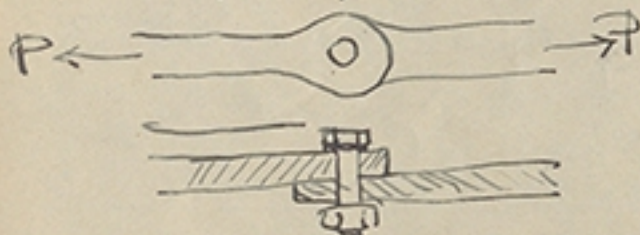
$$P_u = P_{\text{total}}, \quad P_u = P - T_p = P - \frac{P}{1159} L = P \left(1 - \frac{L}{1159}\right)$$

$$\text{Si } n = 36, \quad \text{se habrá devar un peso } P_{\text{deseado}}, \quad P = R \frac{\pi D^2}{4}$$



para los fórmulos  $P = \gamma I_0 \pi d^2$ ;  $d = \frac{P}{36 \times 707}$  L'espacio de diámetro  
 del tubo: Por  $\frac{D}{d} = 8$ ,  ~~$D = 8d$~~  "  $d = \frac{P}{8 \times 36 \times 707}$

Ruedas para cierre rotativo: pernos y pasadores, y robllos.  
 Los pernos, en la rueda, se permiten el giro, trabajan para  
 el pasador para cierre rotativo. La rueda, la rueda de apriete, la rueda de apriete,



que se opone la extensión, que  
 trae de a separar los estilos del  
 perno.

Si perno si no permite giro  
 Si pasador si permite



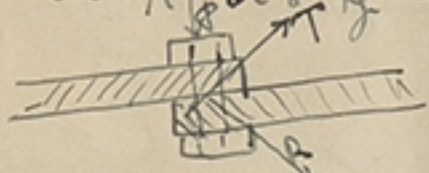
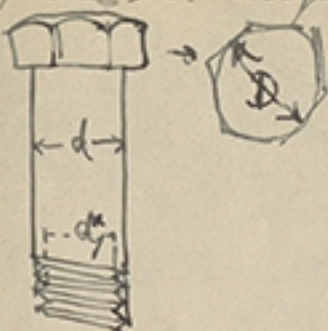
Los pernos se componen de 3 partes: el cargo, cilindro o anillo, la parte ~~diametral~~<sup>estriada</sup> y la abra:

La presión del clavo, mide en tensión; si dejé jigo:

$$d_r = \frac{4}{5} d = 0.80 d$$

$$\text{Hierro: } R = 2.94 \text{ Kg/mm}^2$$

$$\text{Acero: } R = 62.8 \text{ Kg/mm}^2$$



Se requiere de modo que no vayan girar los dos piezas. Hg la compresión, a la que se opone la tracción del cuerpo del perno. De parte ander ejige la reacción: tiene ser cortado la penetración del cuerpo del perno y separa la de la mitad que queda de la abra:

Si jiges le ponió P, por que no pide resbalaz. Ademas no fijo de tracción, T. Bautista de esto:

Si quede T constante, y sea constante P, el anillo se irá estirando, hasta que se hace nula que da la fuerza de rojeción.



Si no hay resbalamiento habrá la reacción igual y constante; solo hace falta una fuerza P, que hará resbalar. Pero no



curve aso per el rognat. Per ve verificare se l'ruja  
anunca h'te cert valor de  $\frac{f}{m}$ , que h'ce ne se una  
li se deber establecid, ha de ser  $\frac{f}{m}$  menor.  $T = P \frac{f}{m} \leq f$   
 $f$  es el límite de rognat.

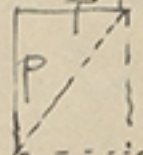
A h'ce de  $m \geq f < f'$ , h'ce  $f$  = resistencia del rognant:

H'ce  $f = 0.18 \pm 0.20$ ; le límite de seguridad:  $m = 2 \frac{1}{2} \text{ a } 3$

~~Precisión~~  $\frac{f-f'}{f} = \frac{1}{m}$  se verifica:  $P = Y + Y_1$ ,  $Y_1 = X \alpha \beta \gamma = X f'$ ,  $P = Y + X f'$   
 $P = Y + X \frac{m}{f}$ ,  $Y$  se considera por su importe de  $T$ .

La tracción  $\rightarrow$  de galletas, a lo largo de los ríos.

Le importe  $Y = 0$ ;  $P = \frac{mT}{f} = \frac{Xm}{f} = \frac{mT}{f}$



El momento' nito de atracción:  $P = R \Omega$

residuo constante:  $P = R \Pi \frac{d^2}{f} = R \frac{16d^2}{4 \times 25} = R \frac{4d^2}{25}$

$$P = 6.50 R d^2 = \frac{1}{2} R d^2$$

Calcular la abertura:



La zona m':  $\Pi (D^2 - d^2)$

$$P = R \Pi \frac{1}{4} (D^2 - d^2), \text{ h'ce de}$$

R dif'erente de ceros:  $P = R_1 \Pi (D^2 - d^2)$ ,  $R_1 = 2 \text{ kg/mm}^2$

$$\frac{1}{2} R d^2 = R_1 \frac{1}{4} (D^2 - d^2) \text{ y, } \frac{1}{2} R d^2 = \frac{1}{2} \Pi (D^2 - d^2), \text{ h'ce } Rd^2 = \Pi (D^2 - d^2),$$



$$Rd^2 = \pi D^2 - \pi d^2, \quad d^2 = \frac{\pi}{R} (D^2 - d^2). \quad \text{Le brin } \frac{R}{2}, \quad d^2 = \frac{1}{2} (D^2 - d^2)$$

28

$$D = \sqrt{3} \cdot d, \quad D \text{ viene } \text{ug } \frac{1}{2} d, \quad \text{y se hace } \text{brin } \text{el doble } \rightarrow \text{la presión.}$$

Altura de la abra  $\frac{1}{2} d$  talgo para efecto cortante en superficie cilíndrica: que es la cifra de la basa por le altura.

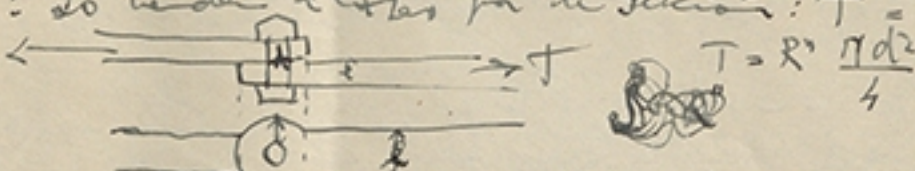
$$\pi da = R, \quad P = R'' \Omega \quad \text{siendo } R'' \text{ esfuerzo de corte constante}$$

$$P = R'' \pi da, \quad \frac{1}{2} Rd^2 = \pi R'' da, \quad \frac{1}{2} Rd = \pi R'' a, \quad \text{Se denuncia fórmula de talgo}$$

$$\text{fórmula general: } R'' = \frac{1}{2} Rd + \pi a, \quad a = \frac{1}{2} \frac{Rd}{\pi} - \frac{Rd}{2\pi}$$

$$2\pi = 6,28; \quad \text{Si } R = 5,6, \quad \text{se ve de tener } d = 2\pi, \quad a = d,$$

2. pesador: Lo trae a cortes para la fijación:  $T = R'' \Omega$ :



a un talgo de muelle efecto cortante:

$$T = R'' 2 \Omega = d'' 2 \frac{\pi d^2}{4} = R'' \frac{\pi d^2}{2}$$

$T = R \omega = R \cdot \frac{1}{2} \omega$  en la parte  $\frac{1}{2}$  de la base recta; pero en la otra parte de la base se da una de la mitad de la mitad de la base.

$$R'' = \frac{T}{\frac{\pi d^2}{4}} \quad \text{"Si son iguales": } R'' = \frac{T}{\frac{\pi d^2}{4}}, \quad \text{Esto si viene}$$

los puros el diámetro. Pero si hay folguras:

A continuación se ilustran los tipos de empalmes:  
a) quebrado y b)

Para los formularios:  $R'' = \frac{\pi}{16} \frac{d^2}$ ,  $R''' = \frac{\pi}{2\frac{3}{16}} \frac{d^2}$

Robles: no son fuertes, sin tronco, sin raíz ni rizomas.

Si el puro es de Robledura. Cada rizo en el tronco, tiene una sola rama simple, pero el resto de ellos tienen más ramas y troncos. Para efectos constante, para el cálculo de la tensión se considera que el radio es constante, para el cálculo de la fuerza constante, para el cálculo de la resistencia constante.

Resistencia de contorno  $\rightarrow$  el cuadrado de la cantidad de madera y la recogida: radio es de 95%.

Resistencia a la tracción  $\rightarrow$  el cuadrado del radio multiplicado por la recogida de la madera.

A: apertos bien recogidos y bien desengrasados: AE, Siendo E = 2 voltios

$$\frac{AE}{AE'} = \text{Reducción}$$

Reducción: Es el radio de  $\frac{1000}{100}$  Ohmios

Ligero, ligero, diferencia de potencia entre los tipos,



Ribbie: son pesadores que dejan libre el juego. No tiene fuerza, ni  
remache de la abje. Hg se lleva el diente y al largo del arco



Tamaño para cada diente = 1

1) exterior: radio de la abje:  $1'67d$

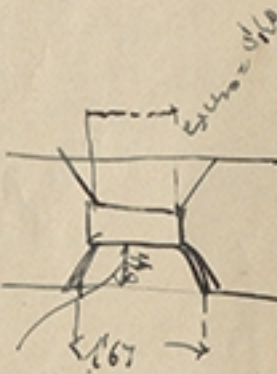
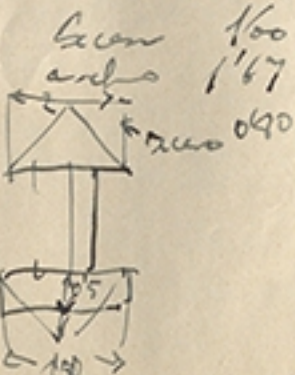
Exceso del largo =  $1'11$ .

Flecha de la abje:  $0'66$

2) Gote de Sebo: radio  $1'80$   
Flecha  $0'50$  } de la abje.

3) Monoide:

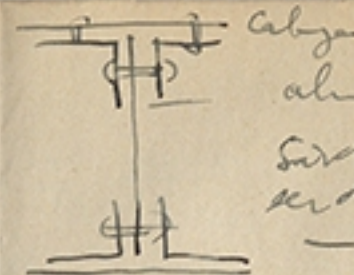
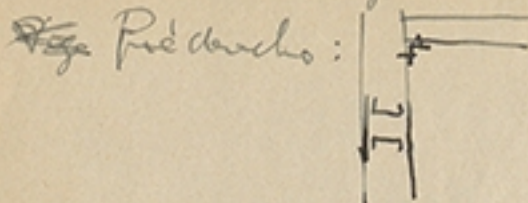
4) Conico.



Que poner el en aguja y los mordetos, se usa roble  
o algo de refresco



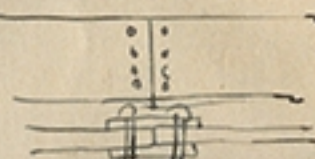
Los roles abajo. Chapas:



abajo

arriba

sordabre no hace  
serdece pieza:



Larga pieza de madera a tracción R=8 mm

Tor espuma constante. Se romperán en pisos o cabete: - pisos  
2 < 1m y el cabete si > 1m de espesor.

Si el robladero está bien hecho, no pedirán la mano, pues  
obliga por compresión sobre los ~~ladrillos~~. Si cae se presta a

que el que juega, el caballete de mero tiempo, troceje la pieza constante.

Los taladros son iguales para 2 trozos

$$R = 8 \text{ mm}^2, R'' = \frac{1}{3} R.$$

La varilla varía según el revestimiento. Si lleva el taladro: se  
puzón (acabados) o la broca (barrena). El Lº, no difiere de fondo  
y altura d hierro. El Lº, no. y se pide hacer que a parte mejore  
los taladros. Se hace de diámetros determinados.

El d = 8 mm y el fondo d abierto en pisos o cabete

La varilla de temperatura: para madera roja crece 900° a 1000°



Serie par:  $d = 8 \quad 12 \quad 16 \quad 18 \quad 20 \quad 22 \quad 23 \quad 25$

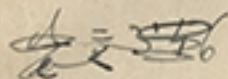
Serie impar:  $d = 15 \quad 17 \quad 19 \quad 20 \quad 24$

Hoy se relacionó el espesor de los rebotes y el d del tablón.

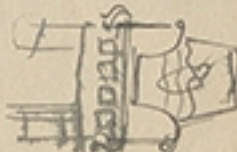
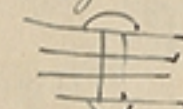


$$\frac{d}{e} \approx 2.58 \text{ Hierro}$$

Si se considera el espesor, se tiene el mayor.



Líson 2 rejas



$$\frac{d}{e} \approx 2.38 \text{ Hierro}$$

$$\frac{d}{e} \approx 3.46 \text{ Acero}$$

rejilla

$$\frac{d}{e} \approx 1.19 \text{ Hierro}$$

$$\frac{d}{e} \approx 2.73 \text{ Acero}$$

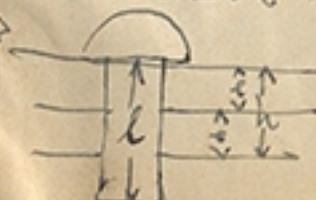
2 rejillas

Rejillas acero en mortillo, ó concreto compinido  
Acero si  $d < 2.5 \text{ cm}$ .

Hoy se relacionó entre el espesor del rebote y el d del voladizo.

Espesor del rebote = 8 10 12 15 20 25 en mm

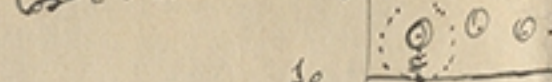
d delante del voladizo = 16 19 20 20.21 22 21 30



$$l = h + 0.7h + 1.50d \quad (\text{¿ó es la constante de } h?)$$

El tablero se hace 1 mm más grande que el d.

Fajé que se de enrostrar a este volante: La de rostar ligad que el  
 roblante  
 Cosa dos volantes



Solape:

La fuerza en el eje del volante =  $1 \text{ e}$

Trabajo a simple sección.  $T = R^2 \cdot r = \frac{4}{5} R \pi d^3$  "  $R = 6 \text{ kg/mm}^2$

Diametro del eje = 180 del  
 espesor del plato.

Masa de peso rotativo

Por solape  
 doble entrejante  
 simple entrejante

Masa

00



Este diseño fijo que para la máquina  
 esté en un sentido, y que sea  
 el punto fijo en la recta